

名古屋大学 工学部 正員 高田 彰

1. 緒言 海岸堤防の破壊の主な原因と列挙すると次のようになる。(1)越波による海岸堤防天端がよび裏法面の破壊。(2)波浪の衝撃(波圧)による破壊。(3)浸透および吸出しによる破壊。

この中でも裏法面の越波による流出が破壊の最も主要な原因であることが、伊勢湾台風におけるこれまでの幾多の災害から明らかにされていて、その上最近では臨海工業地帯の造成による海岸堤防背後地の高度利用から越波量そのものが重要な問題となつて来ている。越波に関する研究はかなり進んではいるが複雑な現象なるゆえに解決されなければならない問題点が教多く述べられる。筆者は、過去4年間継続している越波に関する防災工学的研究の一環の中ですすめ越波を減らすため防止する消波堤の機能について二、三考察した。今回は消波堤層内の水の挙動を調べると同時に消波堤の空隙が越波の減少効果に及ぼす影響を定量的に明らかにした。更に実際に消波堤の空隙を形成する表現形式として効果的な消波用类型グラフを数種考案した。

2. 越波の定義 侵入する波を阻止する目的の海岸堤防、防波堤、および岸壁などの構造物の機能と安全性を阻害する現象の一つとして越波現象である。

越波とは平均水面より上に出た構造物に波が衝突することにより構造物の天端を連続流として、あるいは大小の水塊として流入する現象であると定義される。越波の形態としては次の2種類に大別される。
 (1) 越波が衝突した波から分離しない場合(連続流として取扱える場合)
 (2) 越波が大小の水塊として波から分離する場合(個々の質點として取扱える場合、)

3. 越波の分類 越波現象そのものは種々の要素が入りて複雑であるが、その中でいくつかの主要な現象に注目すれば次のようす越波の分類が出来ると言えらる。

(1) 構造物の使用目的による分類

- a) 防波堤における越波
- b) 海岸堤防における越波
- c) 岸壁における越波

(2) 構造物の壁面形態による分類

- a) 不透過壁面における越波
 - ①鉛直壁面 ②傾斜壁面 ③複合勾配の壁面
- b) 透過壁面における越波
 - ④鉛直壁面 ⑤傾斜壁面 ⑥複合勾配の壁面

(3) 波の特性による分類

- a) 重複波の越波
- b) 部分重複波の越波
- c) 破波の越波
- d) 短波(碎波後)の越波

(4) 風速による分類

- (5) 波の進入方向による分類
- (6) 波の規則性による分類

などに分類出来る。一方越波を定量的に表す物理量として(1)越波の水量による方法 (2)越波のエネルギーによる方法 (3)越波の運動量による方法 などが考えられる。

以上の如く越波の分類がなされると筆者はこの中で海岸堤防における越波をとりあげ、特に越波を防止する目的の消波堤の効果について考察した。一方、越波現象と考査する水理量として越波水量を

対象とした。

4. 消波堤層内の波の挙動 従来の研究によれば消波堤層内の空隙は越波を減らすあるいは防止するのに役立つことが定性的に明らかにされている。しかし、透過構造物にすればなぜ越波が減るのか、また消波堤層内の水の挙動はどうなっているのかなどについてはまだ明確されていないようである。図-1は消波堤断面の越波の減少効果に及ぼす要素と消波堤層内の水の挙動を模式的に示したものである。筆者は図の中で越波に關係する主要な要素として海岸堤防壁面(消波堤背後)の水の上下を示す R_d' および R_d と消波堤前面の斜面における波の上下を示す R_u および R_d をとりあげ、これらについて実験的に考察した。

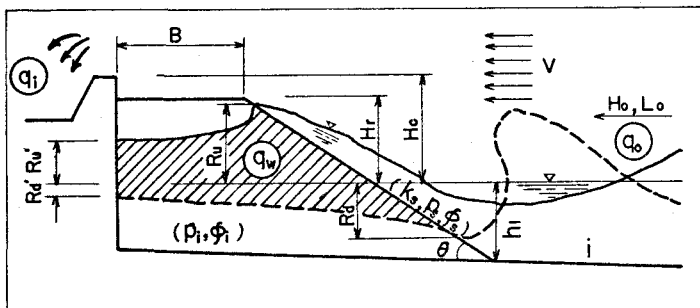


図-1 越波要素と消波堤層内の波の挙動

実験は海底勾配 $i = 1/40$, $h/L_1 = 0.06 \sim 0.09$ (L_1 : 堤脚水深), $H_o/L_0 = 0.01 \sim 0.07$ の波について行い、消波堤の傾斜は $H_o/H_o = 0.95 \sim 1.25$, $B/H_o = 2.5 \sim 4.0$ (B : 天端幅) である。なお、消波堤の層内の空隙率は 45 %、消波堤表面の間隙率は約 20 % である。図-2 はそれらの実験結果であるが、 R_d' , R_d , R_u および R_d と冲浪波高 H_o との無次元量 R_d'/H_o , R_d/H_o , R_u/H_o および R_d/H_o と波形勾配 H_o/L_0 の関係について示したものである。 R_d は図-1に示すごとく波が消波堤表面で静水面上 R_u に達するまでの時間 Δt_f ($\approx T/2$) の間に消波堤表面の向岸から透過して水が層内に空隙を通過して海岸堤防に到達する静水面上の高さであるので実験において $R_d'/H_o > R_d/H_o$ となることを理解せねばならない。また、 R_d' は消波堤層内に吸収された水が次の侵入波が来襲する時間 Δt_f ($\approx T/2$) の間に消波堤層外に排水され静水面下(あるいは静水面上) R_u に減じたことを示すから図-2の実験結果から $|R_d'/H_o| < R_d/H_o$ となることを理解できる。

以上の結果から、一周期 T の間に海岸堤防壁面では $R_d' \pm R_d = R_u$ 、消波堤表面では

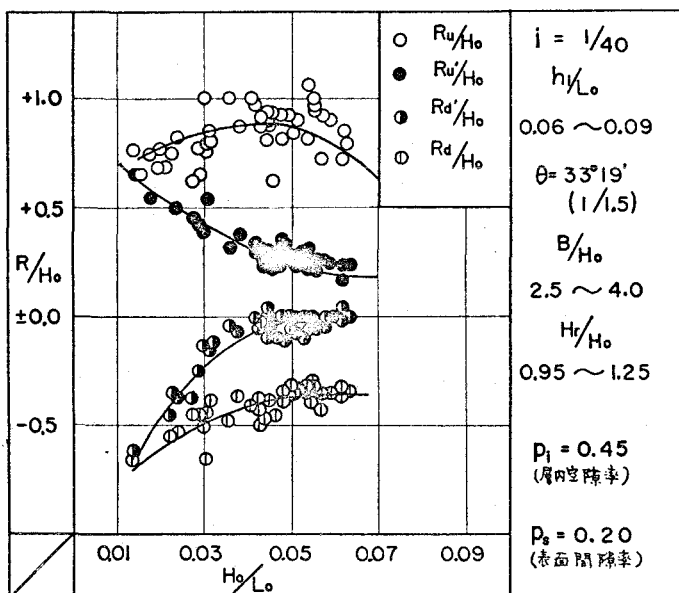


図-2 消波堤表面および層内の水の移動

$R_L + |R_d| = R_L$ の水の移動量であって、 R_L' と R_d の間には $R_L > R_L'$ の関係があることが分った。なお、層内の水の移動量(透過量) q_{tr} を求めるために層内の自由水面の形状が問題になるが、定性的には消波堤の表面に近い程 R_d の変化率が大きく、消波堤表面の水位移動量 R_d が最大値を示す。

そして海岸堤防の壁面の水の移動量 R_L' が最小値を示すことが分った。(自由水面の形状はのりり複雑であるか近似的に $R_L' \approx R_L$, R_d と R_d を結ぶ直線分布としても大差はない) と推測される。) さらに図-2 のうえのことが明らかになつた。たゞ(1) H_r/H_0 の小さい程消波堤層内の水の移動量が大きく、透過程効果においては越波の減少効果が大きいと考えられる。(2) 消波堤の必要断面は越波と対象にすれば $R_d/H_0 \approx R_d/H_0$ に近いようの相対天端高 B/H_0 を規定することによって終清的存断面を求めることが可能である。すなまら層内の空隙全部が効率的に働き丁度透過程水が空隙全体に与えたるような断面が最小限必要な消波堤の断面と言える。図-2 の結果は相対天端高 $B/H_0 = 2.5 \sim 4.0$ についてであるが水の透過程する割合の断面があることがわかる。したがつて B/H_0 を更に縮小できることを示してある。(3) 空隙率の大きい材料を用いれば空隙率の小さい材料の消波堤の必要断面より小さい断面(同一の効果をあげることが出来る)。しかし空隙率をあまり大きくすると海岸堤防の波圧が増大したり $R_d' > R_d$ に至りするので有効な空隙率には限度がある。(4) 消波堤による越波の減少効果は層内に透過される水量に支配される。

5. 消波堤の空隙率と越波量の関係

消波堤層内の空隙に透過する水量の移動が空隙率、消波堤断面の大きさ、波の特性などによって異なることが前述の実験結果より明らかになつた。そこで消波堤の断面を同一の規模にした場合に消波堤層内の空隙率によって越波が如何に変化するかを実験的に調べた。

使用した空隙率は 46%, 50%, 53% および 60% の 4 種類。波は $h/L_0 = 0.013 \sim 0.036$, $H_0/L_0 = 0.017 \sim 0.034$ 。

海底勾配は $i = 1/10$ である。消波堤の天端高 H_r と海岸堤防の天端高 H_c を等しくとり $H_r/H_0 = H_c/H_0 = 0.63 \sim 1.44$ である。

実験の結果は図-3 に示され次のことが明らかになった。

実験値のばらつきはあるが一般に空隙の大きい程越波量が減少する。空隙が 60% の場合は 46% に比べて越波量が $1/6 \sim 1/20$ に減少するようである。これは前述した如く消波堤層内の空隙量に透過する水量が多くなることによつて越波が著しく減少したと見らされる。

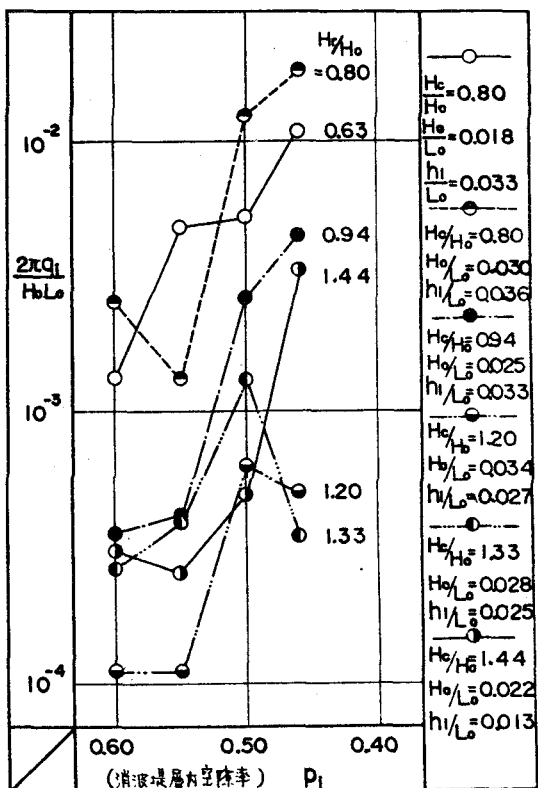


図-3 消波堤の空隙率と越波量の関係

る。消波堤を構成する既存の異型ブロックの割離率は49%～65%であるので越波の減少効果が薄しく大きいことが分かる。しかし、異型ブロックの形状についてはまだ改良すべき点が残されているように思われる。

6. 新しい消波用異型ブロックの考案 消波堤の構造を形成するための実際の表現形式として異型ブロックをあげることができる。消波用異型ブロックについては内外すでにテトラボッド、六脚ブロック、中空三角錐ブロック、モロースケヤー、トライバーおよびアーモンなど数多くの形状のブロックが考案されている。しかし、ブロックの形状として考案されただけであってそれらの水理学的考察と系統立てて研究はまだなされていないようだ。それゆえ、消波堤を設計する技術者はまだ新しい種類の消波ブロックの選択に苦慮しているようである。一般に日本での種類の消波ブロックを用いても効果が同じであるといった説¹⁾は解説がなされてしまうのは要らるべき現状といえよう。

消波ブロックの意匠の創作も重要な事柄ではあるが水理学的に充分説明ができるようなら実験的・理論的研究が望まれる。筆者は図-4(a), (b), (c), (d) および (e) に示すわずか5種類の形状の消波用異型ブロックを考案した。これらについての水理学的考察は引き続き研究を行っているので次の機会に報告したい。

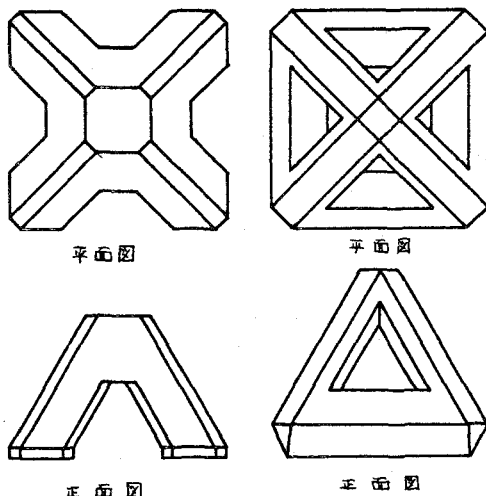


図-4(a) 四脚錐ブロック 図-4(b) 中空五面体ブロック

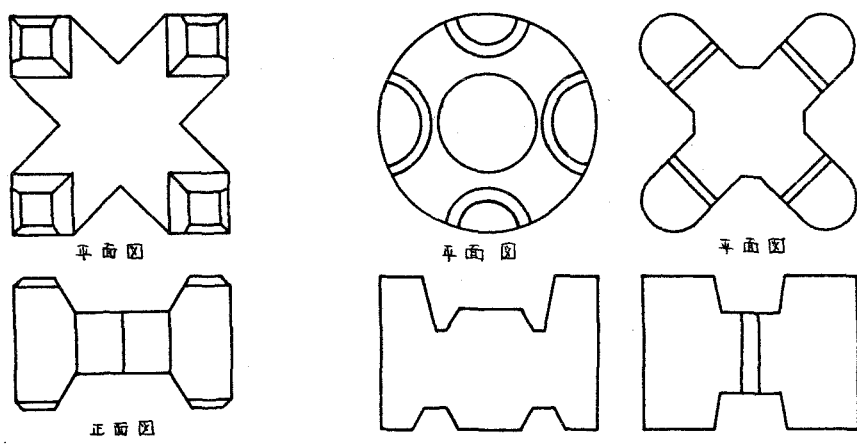


図-4(c) 角型四脚ブロック

正面図

平面図

図-4(d) ドーナツ型四脚ブロック 図-4(e) 九角型四脚ブロック

図-4 新しい消波用異型ブロックの考案